

開水路流れにおける混合過程と分散係数

京都大学工学部 正員 岩佐 義朗
 水資源開発公団 正員 薬師寺公文
 京都大学大学院 学生員 ○三石 真也

京都大学工学部 正員 稲 史郎
 京都大学大学院 学生員 牛島 有

1.はじめに；本研究は、流下方向に流れの場が等質な矩形断面を有する三次元せん断乱流場における混合現象についてLagrange的に取り扱い、Taylorの古典的乱流拡散理論¹⁾との相似性の観点より解析を行つたものである。内容的には、まずいくつもの局所平均流速の分布形、水深及び水路幅方向の乱れ強さ（乱流拡散係数）を仮定して電子計算機を用いてLagrange的数值実験を行ふ。このような流れの場におけるLagrange的統計量の特性を明らかにした。さらに得られた結果より、Lagrange的理論の中心となる自己相関関数²⁾について検討し、そのモデルを提案すると共に、その適用性について数值実験により得られた統計的分散の挙動、及び分散係数と比較検討し、その有効性について確認した。

2. Lagrange的数值シミュレーション；数值シミュレーション手法については、前報と同様であるので割愛するが設定した計算条件（水深、水路幅方向の乱れ強さ等）について示すと表-1のようである。表中のRun 3A-3Iでは、前報で示したような仮想的な局所平均流速の分布形を与えており、Run S221-S222RCについては、筆者らの矩形断面水路におけるトレーサー実験において測定された局所平均流速の分布形を用いて数值実験を行つた。

3. Lagrange的統計量の特性；(1)乱れ強さ、流体粒子の主流方向のLagrange的乱れ速度は、

$$v_x'(x,t) = u_x'(x,y,z,t) + u_{yz}''(y,z) + u_z(z) - \bar{u} \quad (1) \text{であり。}$$

乱れ強さは、

$$[v_x'^2] = \frac{1}{A} \int \bar{u}_x'^2 dA + \frac{1}{A} \int u_{yz}''^2 dA + \frac{1}{B} \int u_z'^2 dz \quad (2)$$

$$= [v_t'^2] + [v_y'^2] + [v_z'^2] \quad (3) \text{となる。}$$

ここで、 $u_x' = u_x - \bar{u}_x$ (Euler的乱れ)、 $u_{yz}'' = \bar{u}_{yz} - u_z(z)$

(水深方向の局所平均流速の非一様性の項)、 $u_z' = u_z(z) - \bar{u}$ (水深方向に平均化した流速の水路幅方向の非一様性による項)、 $u_z(z) = \frac{1}{d} \int_0^d \bar{u}_x dy$

(水深方向に平均化した流速)である。

(2)自己相関関数、自己相関関数 $B_L(t)$ は、(1)式を用いて

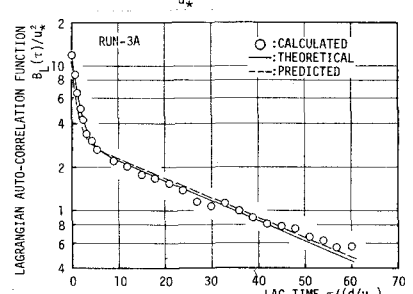
$$B_L(t) = \sum_{ij} B_L(i,j) = \frac{1}{T} \int_0^T v_i'(t) v_j'(t+t) dt \quad (i,j = t, v, l) \quad (4) \text{となる。}$$

v'_x 時系列解析して得られた $B_L(t)$ を片対数紙上に示すと、図-1のようであり、この図からわかるように、 $B_L(t)$ はてへ小さな領域で急激に減衰するが、その後は長く尾を引く。

表-1 設定条件

RUN-NO.	u_1	κ	u_x^2/u_*^2	u_z^2/u_*^2	u_y^2/u_*^2	u_z^2/u_*^2
RUN-3A	u_1	0.4	2.50	0.15	0.208	0.0667
RUN-3B	u_1	0.4	2.50	0.3	0.417	0.0667
RUN-3C	u_1	0.4	2.50	0.2	0.278	0.0667
RUN-3D	u_1	0.3	2.50	0.2	0.278	0.0667
RUN-3E	u_1	0.4	2.50	0.2	0.278	0.276
RUN-3F	u_1	0.4	2.50	0.2	0.278	0.199
RUN-3G	u_1	0.35	2.50	0.2	0.278	0.0667
RUN-3H	u_1	0.4	2.50	0.2	0.278	0.0667
RUN-3I	u_{13}	0.4	2.50	0.2	0.278	0.0667
RUN-S221			2.50	0.2	0.278	0.0667
RUN-S222			2.50	0.2	0.278	0.0667
RUN-S221RC			2.50	0.2	0.278	0.0667
RUN-S222RC			2.50	0.2	0.278	0.0667

NOTATIONS; $\theta = u_z^2/(0.72d/u_*)$, $i:x, y, z$



$$B_L^*(\tau) = [v_t'^2] e^{-\tau/T_t} + [v_v'^2] e^{-\tau/T_v} + [v_e'^2] e^{-\tau/T_e} \quad (5)$$

(15)より $BL^*(0) = [v_t^{(1)}] + [v_v^{(1)}] + [v_e^{(1)}]$ であり、乱れ強さは、(2) に一致する。すなはち Lagrange の積分時間入ケーリーは、

$$T_{SL}^* = \{ [v_t'^2] T_t + [v_v'^2] T_v + [v_e'^2] T_e \} / [v_x'^2] \quad (6) \text{ と } (7)$$

図-2(2)と(3)は $T_{SL}^*(z, T_{SL}) = \lim_{t \rightarrow \infty} \int_0^t R(z, T) dT$ と良く一致する。

$$T_{pi} = \frac{1}{14.8} \cdot \frac{E_i^2}{E_i} \quad (E_i: \text{持続長}) \quad (7)$$

が良い値を与える。(図-3) 図-1 の実験は、(5)を用いて、またに積算は、(5), (7)を用いて計算された相関関数である。図-4 は、(4), (5) 式における各項について項別に示して比較したものである。これらの図より、(5)が良い近似を与える事がわかる。

$$[x'^2] = 2 \int_{-t}^t (t-\tau) B_L^*(\tau) d\tau \quad (8)$$

により求められる。この値と数値実験及び水理実験により得られた粒子位置の二次中心モーメントをそれらの経時変化として示したもののが図-5であり、これらは良く一致している。

$$D^* = [v t'^2] T_t + [v v'^2] T_v + [v e'^2] T_e \quad (9)$$

て推定されたが、(5), (7)による推定値と、 v_x' について時系列解析にて得られた時間スケール T_{SLI} を用いて $D = [v_x']^2 T_{SLI}$ により求められた実験値および水理実験により得られた分散係数を示したもののが図-6である。図-5, 6ともに良く一致しており、(2), (3), (5), (7)でモデル化された相関関数モデルが適用可能といえる。

《参考文献》 1) Taylor, G. I Proc. London Math. Society, A20, 1921

2) 岩佐、綾、森田、西川; 京都大学防災研究所年報 第25号 B-2, 1982

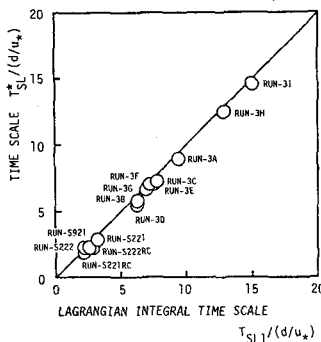
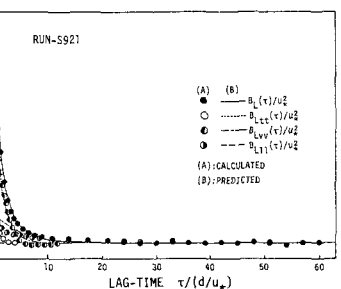


図-3 構造時間ストレート。
Fischerの時間ストレート



Lagrange の自己相関関数

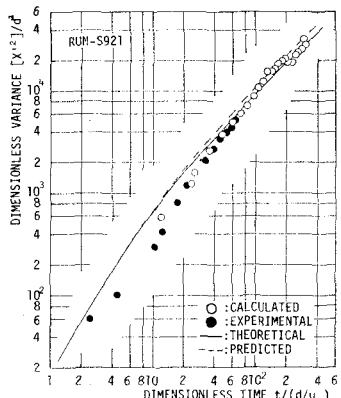


圖-5 統計的分散の量度

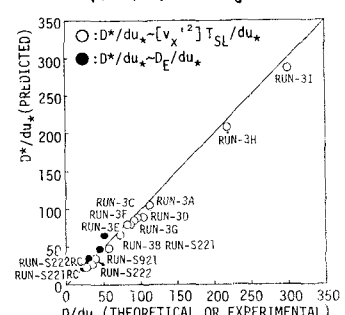


圖-6 分散係數